

19. Yoshimoto Y., Onodera M. Performance of a Diesel Engine Fueled by Rapeseed Oil Blended with Oxygenated Organic Compounds // SAE Technical Paper Series. — 2002. — № 2002-01-2854. — P. 1—9.
20. Krah J., Vellguth G., Munack A. et al. Exhaust Gas Emissions and Environmental Effects by Use of Rape Seed Oil Based Fuels in Agricultural Tractors // SAE Technical Paper Series. — 1996. — № 961847. — P. 1—14.
21. Hammerlein N., Korte V., Richter H. et al. Performance, Exhaust Emissions and Durability of Modern Diesel Engines Running on Rapeseed Oil // SAE Technical Paper Series. — 1991. — № 910848. — P. 1—16.
22. Файнлейб Б.Н. Топливная аппаратура автотракторных дизелей: Справочник. — Л.: Машиностроение, 1990. — 352 с.
22. Кирilloв Н. Г. Альтернативные моторные топлива XXI века // Автогазозаправочный комплекс — альтернативное топливо. — 2003. — № 3. — С. 58—63.

629.115

## ЗАВИСИМОСТЬ МАНЕВРЕННЫХ СВОЙСТВ БОЛЬШЕГРУЗНЫХ АВТОПОЕЗДОВ ОТ ПАРАМЕТРОВ СИСТЕМЫ УПРАВЛЕНИЯ ПОВОРОТОМ

Д-р техн. наук, проф. Г.И. ГЛАДОВ, инж. Л.А. ПРЕСНЯКОВ

*Изложен метод оценки влияния параметров и режимов работы системы управления поворотом с гидромеханическим приводом на маневренные свойства большегрузных автопоездов. Приведена расчетная схема автопоезда. Указаны зависимости углов поворота колес и углов складывания звеньев автопоезда для различных участков траектории его движения с целью получения минимальных отклонений траекторий звеньев от заданной и уменьшения габаритной полосы движения автопоезда.*

*Estimation method of working parameters and modes of behavior in a steering control system with a hydro mechanical drive gear on maneuverable properties of super size articulated trucks is observed. The design model of articulated truck is shown. Dependences of wheel turning angles and jack-knifing corners on various sites of its motion path with the purpose of obtaining minimum off-path jogging from set and overall lane reduction are specified.*

Маневренные свойства большегрузных автопоездов (БАП) обеспечиваются специальными системами управления поворотом колес прицепных звеньев. Оценка и выбор способов совершенствования маневренных свойств путем анализа влияния параметров и режимов работы этих систем на характер криволинейного движения автопоездов осложняются отсутствием соответствующих расчетных методов.

Нами предлагается метод оценки влияния параметров и режимов работы систем управления поворотом с гидромеханическим типом привода на маневренные свойства БАП. Расчетная схема движения автопоезда на повороте, представленная на рис. 1, составлена с принятием следующих допущений: рассматривается плоская «велосипедная» модель автопоезда; скорость движения тягача принимается постоянной; боковой увод шин не учитывается. В качестве основного параметра маневренности БАП выбраны величины смещений траекторий опорных точек звеньев относительно друг друга, обозначаемые в дальнейшем  $\Delta C_i$ . Для тягача опорная точка расположена в геометрическом центре задней — неуправляемой — колесной тележки, а для прицепных звеньев — в общих геометрических центрах колесных ходов.

При выводе основных зависимостей были приняты следующие обозначения:  $\mu_i$  — угол поворота приведенного управляемого колеса тягача;  $d_i$  — курсовой угол тягача;  $I_i$  — база тягача;  $\alpha_i$  — курсовой угол  $i$ -го прицепного звена;  $\gamma_i$  — угол складывания  $i$ -го прицепного звена;  $\dot{\alpha}_i$ ,  $\dot{\gamma}_i$  — скорость изменения курсового угла и угла складывания  $i$ -го

прицепного звена соответственно;  $L_i$  — база  $i$ -го прицепного звена;  $\varphi_i$  — угол поворота приведенного колеса  $i$ -го прицепного звена относительно продольной оси этого звена;  $\dot{\varphi}_i$  — скорость изменения угла поворота приведенного колеса  $i$ -го прицепного звена.

Наибольшее распространение в системах управления поворотом колес прицепных звеньев получило управление, которое может быть выражено следующей зависимостью

$$\varphi_i = \begin{cases} 0 & \text{при } |\gamma_i| \leq \gamma_{i,1} \\ K_i 1 \gamma_i & \text{при } \gamma_{i,1} < |\gamma_i| \leq \gamma_{i,2} \\ K_i 2 \gamma_i & \text{при } \gamma_{i,2} < |\gamma_i| \leq \gamma_{i,3} \\ K_i 2 \gamma_i / 3 & \text{при } \gamma_{i,3} < |\gamma_i| \end{cases} \quad (1)$$

где  $K_i 1$ ,  $K_i 2$  — коэффициенты передачи рулевого привода;  $\gamma_{i,1}$ ,  $\gamma_{i,2}$ ,  $\gamma_{i,3}$  — характерные значения углов складывания для  $i$ -го прицепного звена.

Величина  $\gamma_{i,1}$  характеризует зону нечувствительности рулевого привода и выбирается из условий устойчивости прямолинейного движения автопоезда. Величина  $\gamma_{i,2}$  характеризует участок, необходимый для выхода привода на расчетный режим работы. При достижении углов складывания величины  $\gamma_{i,3}$  управляющее воздействие на поворот колес  $i$ -го прицепного звена прекращается.

Связь между углами  $\gamma_i$  и  $\varphi_i$  может быть получена относительно полюса поворота  $P_i$ , а также из равенства проекций скоростей точек на продольную ось этого звена

$$\dot{\gamma}_i = \dot{\alpha}_{i-1} - \frac{v_{i-1}}{L_i} (\sin \gamma_i + \cos \gamma_i \tan \varphi_i), \quad (2)$$

где  $v_{i-1}$  — скорость опорной точки ведущего по ходу движения автопоезда звена в направлении его продольной оси;  $\dot{\alpha}_{i-1}$  — скорость изменения курсового угла этого же звена. Следует отметить, что при  $U=1$   $v_{i-1} = v_i$ ,  $\alpha_{i-1} = \alpha_i$ .

При значении  $|\gamma_i| \leq \gamma_{i,1}$  уравнение (2) принимает следующий вид

$$\dot{\gamma}_i = \dot{\alpha}_{i-1} - \frac{v_{i-1}}{L_i} (\sin \gamma_i + \cos \gamma_i). \quad (3)$$

После того как в привод начинает поступать команда на поворот колес, вид уравнения (2) зависит от одного из следующих условий

$$\dot{\gamma}_i \leq U_i \dot{\varphi}_{i,\max}, \quad \gamma_i > U_i \varphi_i; \quad (4)$$

$$\dot{\gamma}_i \leq U_i \dot{\varphi}_{i,\max}, \quad \gamma_i = U_i \varphi_i; \quad (5)$$

$$\dot{\gamma}_i > U_i \dot{\varphi}_{i,\max}. \quad (6)$$

При выполнении условий (4), (5) поворот колес происходит с  $\dot{\varphi}_{i,\max}$ , а при условии (6) — в соответствии с зависимостью

$$\gamma_i = U_i \varphi_i, \quad (7)$$

где под  $U_i$  понимается передаточное отношение рулевого привода которое в зависимости от величины  $\gamma_i$  будет равно или  $K_i 1$ , или  $K_i 2$ . Под  $\dot{\varphi}_{i,\max}$  понимается максимальная скорость поворота управляемых колес прицепных звеньев автопоезда. В случае гидромеханического привода она может быть определена по следующей зависимости

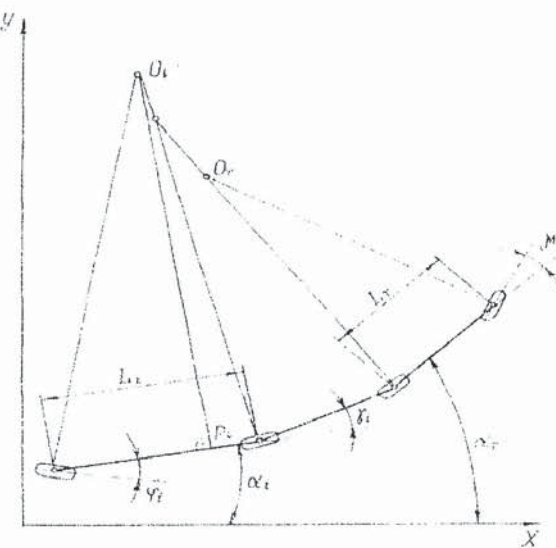


Рис. 1. Схема поворота трехзвенного автобуса

$$\dot{\phi}_{i \max} = \frac{Q_i}{F_i} K_{pi}, \quad (8)$$

где  $Q_i$  — производительность насосной установки  $i$ -го прицепного звена;  $F_i$  — суммарная рабочая площадь силовых цилиндров привода  $i$ -го звена;  $K_{pi}$  — передаточный коэффициент шарниро-рычажной цепи  $i$ -го звена.

При повороте по закону  $\gamma_i = U_i \phi_i$  уравнение (2) будет иметь следующий вид

$$\dot{\gamma}_i = \dot{\alpha}_{i-1} - \frac{v_{i-1}}{L_i} \left( \sin \gamma_i + \cos \gamma_i \operatorname{tg} \frac{\gamma_i}{U_i} \right) + C_{1i}. \quad (9)$$

В случае порота колес с  $\dot{\phi}_{i \max}$  уравнение (2) запишется в таком виде

$$\dot{\gamma}_i = \dot{\alpha}_{i-1} - \frac{v_{i-1}}{L_i} \left( \sin \gamma_i + \cos \gamma_i \operatorname{tg} [\phi_{i \max} (t - t_i^*)] \right) + C_{2i}. \quad (10)$$

В уравнениях (6) и (7) под  $t_i^*$  понимается момент времени, при котором осуществляется переход от поворота по закону  $\gamma_i = U_i \phi_i$  к повороту с  $\dot{\phi}_{i \max}$ , а  $C_{1i}$  и  $C_{2i}$  являются произвольными постоянными и определяются из совместного решения уравнений (6) и (7) в момент времени  $t_i^*$ .

Величина относительного смещения траекторий опорных точек звеньев БАП может быть определена по следующей формуле

$$\Delta C_i = L_i (\gamma_i - \gamma_{ui}), \quad (11)$$

где  $\gamma_{ui}$  — идеальный угол складывания, т.е. угол, при котором звенья БАП следуют друг за другом «след в след».

Условие идеального совпадения траекторий может быть представлено следующим соотношением

$$\alpha_i (t - \tau_{i+1}) = \alpha_{i+1} (t), \quad (12)$$

где  $\tau_{i+1}$  — время задержки, необходимое для прохождения приведенной точкой  $i+1$ -го звена пути, равного расстоянию вдоль траектории движения до приведенной точки впереди идущего звена.

Время этой задержки определяется следующей аналитической зависимостью

$$\tau_{i+1} = \frac{S_i}{v_i} = \left[ L_{i+1} + \int_0^t (v_i - v_{i+1}) dt \right] v_i^{-1}, \quad (13)$$

где  $S_i$  — расстояние между приведенными точками двух соседних прицепных звеньев;  $v_i$ ,  $v_{i+1}$  — скорости движения приведенных точек.

Относительно угла складывания  $\gamma_{ui}$  условие (12) может быть представлено в следующем виде

$$\gamma_{ui} (t) = \alpha_i (t) - \alpha_i (t - \tau_{i+1}). \quad (14)$$

Таким образом, задача определения  $\gamma_{ui}$  сводится к нахождению курсовых углов звеньев БАП в момент времени  $t$  и  $t - \tau_{i+1}$ . Для решения этой задачи необходимо задать закон поворота управляемых колес тягача. Для последующих звеньев МБТС расчет траекторий ведется исходя из того факта, что  $\alpha_{i+1} = \alpha_i - \gamma_{ui}$ .

Выбор параметров гидромеханических систем управления поворотом колес прицепных звеньев, проводимый в соответствии с предлагаемым методом, открывает широкие возможности в повышении маневренных свойств БАП.